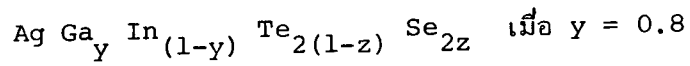


ค่าคงที่ของโครงผลึกและช่องว่างแถบพลังงานของโลหะผสมกึ่งตัวนำ



นาย ธรรมศักดิ์ สิงคเสลิต

ศูนย์วิทยทรัพยากร
จุฬาลงกรณ์มหาวิทยาลัย

วิทยานิพนธ์นี้เป็นส่วนหนึ่งของการศึกษาตามหลักสูตรปริญญาวิทยาศาสตรมหาบัณฑิต

ภาควิชาฟิสิกส์

บัณฑิตวิทยาลัย จุฬาลงกรณ์มหาวิทยาลัย

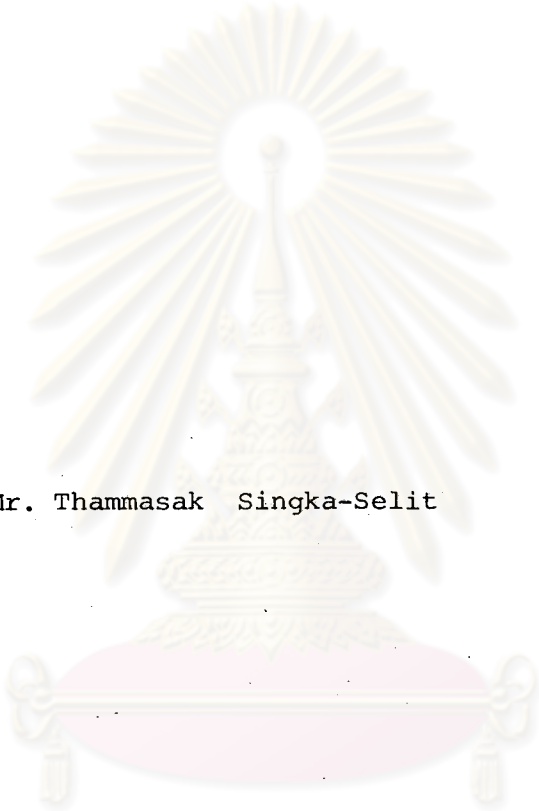
พ.ศ. 2526

ISBN 974-563-048-9

013113

I 15824470

Lattice Constant and Band Gap of Semiconductor
Alloy $\text{Ag Ga}_y \text{In}_{(1-y)} \text{Te}_{2(1-z)} \text{Se}_{2z}$ Where $y = 0.8$



Mr. Thammasak Singka-Selit

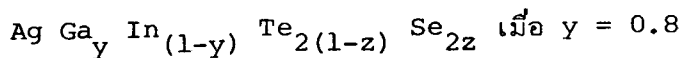
ศูนย์วิทยทรัพยากร
จุฬาลงกรณ์มหาวิทยาลัย

A Thesis Submitted in Partial Fulfillment of the Requirements
for the Degree of Master of Science
Department of Physics
Graduate School
Chulalongkorn University

1983

หัวข้อวิทยานิพนธ์

ค่าคงที่ของโครงผลึกและช่องว่างแถบพลังงานของโลหะผสมกึ่งตัวนำ



โดย

นาย ธรรมศักดิ์ สิงคเสลิต

ภาควิชา

ฟิสิกส์

อาจารย์ที่ปรึกษา

ผู้ช่วยศาสตราจารย์ สมพงษ์ ฉัตรารกรณ์



บัณฑิตวิทยาลัย จุฬาลงกรณ์มหาวิทยาลัย อนุมัติให้บัณฑิตวิทยาลัยฉบับนี้เป็นส่วนหนึ่งของการ
ศึกษาตามหลักสูตรปริญญาวิทยาศาสตรบัณฑิต

..... *สมพงษ์ ฉัตรารกรณ์* คณบดีบัณฑิตวิทยาลัย
(รองศาสตราจารย์ ดร.สุประดิษฐ์ บุณนาค)

คณะกรรมการสอบวิทยานิพนธ์

..... *วิรุฬห์ สายคณิต* ประธานกรรมการ
(ศาสตราจารย์ ดร.วิรุฬห์ สายคณิต)

..... *สุพจน์ พราหมทัต* กรรมการ
(รองศาสตราจารย์ สุพจน์ พราหมทัต)

..... *พิเชฐ ดรีวิจิตรเกษม* กรรมการ
(รองศาสตราจารย์ ดร.พิเชฐ ดรีวิจิตรเกษม)

..... *สมพงษ์ ฉัตรารกรณ์* กรรมการ
(ผู้ช่วยศาสตราจารย์ สมพงษ์ ฉัตรารกรณ์)

ลิขสิทธิ์ของบัณฑิตวิทยาลัย จุฬาลงกรณ์มหาวิทยาลัย

หัวข้อวิทยานิพนธ์ ค่าคงที่ของโครงผลึกและช่องว่างแถบพลังงานของโลหะผสมกึ่งตัวนำ
 $Ag Ga_y In_{(1-y)} Te_{2(1-z)} Se_{2z}$ เมื่อ $y = 0.8$

ชื่อนิสิต นาย ธรรมศักดิ์ สิงคเสลิต

อาจารย์ที่ปรึกษา ผู้ช่วยศาสตราจารย์ สมพงษ์ ฉัตรภรณ์

ภาควิชา ฟิสิกส์

ปีการศึกษา 2526



บทคัดย่อ

ในการวิจัยครั้งนี้ได้ศึกษาคุณสมบัติทางโครงสร้าง และคุณสมบัติทางทัศนศาสตร์ของโลหะผสมกึ่งตัวนำกลุ่ม $Ag Ga_y In_{(1-y)} Te_{2(1-z)} Se_{2z}$ ซึ่งเป็นส่วนหนึ่งของระบบโลหะผสมกึ่งตัวนำ $Cu_{(1-x)} Ag_x Ga_y In_{(1-y)} Te_{2(1-z)} Se_{2z}$ โดยกำหนดสัดส่วนอะตอมให้ $y = 0.8$ และ $z = 0.0, 0.2, 0.4, 0.6, 0.8$ และ 1.0 สารตัวอย่างโลหะผสมซึ่งอยู่ในรูปผลึกพหุพันธ์จะได้จากการเตรียมด้วยเทคนิคการหลอมโดยตรงและแอนนیل อุณหภูมิและระยะเวลาที่ใช้แอนนیلเพื่อให้เนื้อสารเข้าสู่สภาวะสมดุลจะขึ้นกับสัดส่วนอะตอม สำหรับระยะเวลาแอนนิลของโลหะผสมกลุ่มนี้จะอยู่ระหว่าง 2 ถึง 4 เดือน เมื่อเราใช้เทคนิคการหลอมแบบเควินซ์พบว่าระยะเวลาแอนนิลจะลดลงเหลือประมาณ 1½ ถึง 2 เดือน การตรวจสอบสภาวะสมดุลของเนื้อสารและการวัดค่าคงที่ของโครงผลึก (a, c) นั้นใช้เทคนิควิธีการเลี้ยวเบนรังสีเอกซ์ สำหรับการวัดหาขนาดช่องว่างแถบพลังงาน (E_g) เราใช้เทคนิควิธีการดูดกลืนแสง การผันแปรของค่าคงที่ของโครงผลึกและช่องว่างแถบพลังงานที่ขึ้นกับสัดส่วนอะตอม (z) สามารถปรับเข้ากับสมการควอตราติก ดังต่อไปนี้

$$a = 0.0257 z^2 - 0.3592 z + 6.3429 \text{ \AA}$$

$$c = 0.1745 z^2 - 1.2674 z + 12.1189 \text{ \AA}$$

และ $E_g = 0.4533 z^2 - 0.0151 z + 1.1651 \text{ eV}$

ในการศึกษาวิจัยโลหะผสมกึ่งตัวนำตัวอื่นๆ ของกลุ่มนี้ สามารถใช้ความสัมพันธ์ข้างบนหาค่าคงที่ของโครงผลึกและช่องว่างแถบพลังงานของโลหะผสมกึ่งตัวนำดังกล่าวได้

Thesis Title Lattice Constant and Band Gap of Semiconductor Alloy
 $\text{Ag Ga}_y \text{In}_{(1-y)} \text{Te}_{2(1-z)} \text{Se}_{2z}$ Where $y = 0.8$

Name Mr. Thammasak Singka-selit

Thesis Advisor Assistant Professor Somphong Chatraphorn, M.S.

Department Physics

Academic Year 1983



ABSTRACT

In the section $\text{Ag Ga}_y \text{In}_{(1-y)} \text{Te}_{2(1-z)} \text{Se}_{2z}$ of the general chalcopyrite semiconductor alloy system $\text{Cu}_{(1-x)} \text{Ag}_x \text{Ga}_y \text{In}_{(1-y)} \text{Te}_{2(1-z)} \text{Se}_{2z}$, samples were prepared for the line defined by the value $y = 0.8$ with the atomic fractions $z = 0.0, 0.2, 0.4, 0.6, 0.8$ and 1.0 . The polycrystalline samples were generally prepared by a direct melt and anneal technique, different annealing temperatures being used depending upon the atomic fraction, and annealing times of 2 to 4 months being required to give equilibrium conditions. When we freezed the melted samples by quenching technique it was found that annealing times being required to give equilibrium conditions for all compositions reduced to $1\frac{1}{2}$ - 2 months. X-ray diffractometer was used to investigate the equilibrium conditions as well as lattice parameter determination. Optical direct energy gap of all compositions were determined by optical absorption measurements. Variation of lattice parameters; a and c ; and energy gap; E_g ; with atomic fraction z can be fitted to quadratic equations as follows :

$$a = 0.0257 z^2 - 0.3592 z + 6.3429 \text{ \AA}$$

$$c = 0.1745 z^2 - 1.2674 z + 12.1189 \text{ \AA}$$

and $E_g = 0.4533 z^2 - 0.0151 z + 1.1651 \text{ eV}$

Further investigations of any alloy with specific lattice constant and band gap within the range given above can be obtained from the above relations.



ศูนย์วิทยทรัพยากร
จุฬาลงกรณ์มหาวิทยาลัย



กิตติกรรมประกาศ

วิทยานิพนธ์นี้สำเร็จลงได้ด้วยความกรุณาของ ผู้ช่วยศาสตราจารย์ สมพงษ์ ฉัตรภรณ์ ที่ได้ให้คำแนะนำตลอดจนควบคุมการวิจัยอย่างใกล้ชิดตลอดมา จึงขอขอบพระคุณท่านไว้ ณ ที่นี้

ขอขอบพระคุณ ผู้ช่วยศาสตราจารย์ ดร.วสันต์ พงศาพิชญ์ หัวหน้าภาควิชาธรณีวิทยา คณะวิทยาศาสตร์ จุฬาฯ ที่ได้กรุณาให้คำแนะนำและความสวดกในการใช้เครื่องเอ็กซ์เรย์ดิฟแฟรค-โทมิเตอร์

อนึ่งในระหว่างการศึกษา ผู้เขียนได้รับทุนการศึกษาจากโครงการผลิตและพัฒนาอาจารย์ (U.D.C) จึงขอขอบคุณต่อโครงการฯ ไว้ ณ ที่นี้ด้วย

ศูนย์วิทยทรัพยากร
จุฬาลงกรณ์มหาวิทยาลัย



บทคัดย่อภาษาไทย	ง
บทคัดย่อภาษาอังกฤษ	จ
กิตติกรรมประกาศ	ช
สารบัญตาราง	ฉ
สารบัญรูป	ฉ
บทที่ 1 บทนำ	1
2 สารกึ่งตัวนำ	7
2.1 ทฤษฎีแถบพลังงานของของแข็ง	7
2.2 ชนิดของสารกึ่งตัวนำ	11
2.2.1 ผลึกกึ่งตัวนำที่ประกอบด้วยธาตุเดี่ยว	11
2.2.2 ผลึกกึ่งตัวนำที่ประกอบด้วยธาตุเดี่ยวสองชนิด	11
2.2.2.1 กลุ่ม II-VI	11
2.2.2.2 กลุ่ม III-V	12
2.2.3 ผลึกกึ่งตัวนำที่ประกอบด้วยธาตุเดี่ยวสามชนิด	12
2.2.3.1 กลุ่ม I-III-VI ₂	12
2.2.3.2 กลุ่ม II-IV-V ₂	12
2.2.4 ผลึกกึ่งตัวนำที่ประกอบด้วยธาตุเดี่ยวสี่หรือห้าชนิด	12
2.3 การยึดเหนี่ยวกันระหว่างอะตอมของสารกึ่งตัวนำ	12
2.3.1 พันธะไอออนิก	13
2.3.2 พันธะโควาเลนต์	14
2.3.3 พันธะผสม	15
2.4 โพลและอิเล็กตรอนอิสระ	16
2.5 โครงสร้างของสารกึ่งตัวนำ	16
2.5.1 โครงสร้างแบบโคอะมอนต์	16
2.5.2 โครงสร้างแบบซิงค์เบลนด์	21
2.5.3 โครงสร้างแบบเวอรัทไซต์	21

2.5.4	โครงสร้างแบบซาลโคไฟไรท์	25
2.6	การบิดจากตำแหน่งอุดมคติของอะตอมบางชนิด	25
2.7	แถบพลังงานของสารกึ่งตัวนำ	27
2.7.1	บิลลินโซน	29
2.7.2	โครงสร้างแถบพลังงานของสารกึ่งตัวนำ	30
2.7.2.1	โครงสร้างแถบพลังงานแบบสารกึ่งตัวนำ Si ..	31
2.7.2.2	โครงสร้างแถบพลังงานแบบสารกึ่งตัวนำ Ge ..	31
2.7.2.3	โครงสร้างแถบพลังงานแบบสารประกอบ กึ่งตัวนำ Ga As	32
2.7.3	โครงสร้างแถบพลังงานของสารประกอบกึ่งตัวนำซาลโคไฟไรท์	34
2.8	พาหะข้างมากและพาหะข้างน้อย	35
2.9	การนำกระแสของสารกึ่งตัวนำ	36
3	ทฤษฎีเบื้องต้นในการหาค่าคงที่ของโครงสร้างผลึก	39
3.1	การเลี้ยวเบนของรังสีเอ็กซ์เนื่องจากผลึก	39
3.2	ระยะระหว่างระนาบของผลึก	41
3.3	ความสัมพันธ์ของเส้นการเลี้ยวเบนของระนาบต่างๆ ในผลึก	43
4	คุณสมบัติเชิงทัศนศาสตร์ของสารกึ่งตัวนำ	45
4.1	ทฤษฎีพื้นฐาน	45
4.2	การย้ายสถานะพลังงานของอิเล็กตรอนระหว่างแถบพลังงานในสาร กึ่งตัวนำ	48
4.2.1	การย้ายสถานะพลังงานของอิเล็กตรอนจากแถบวาเลนซ์ ไปยังแถบนำแบบตรง	48
4.2.2	การย้ายสถานะพลังงานของอิเล็กตรอนจากแถบวาเลนซ์ ไปยังแถบนำแบบเฉียง	50
4.3	สัมประสิทธิ์การดูดกลืนของสารกึ่งตัวนำ	51
5	วิธีการทดลองและผลการทดลอง	53
5.1	การเข้าสู่สถานะของแข็งของสารหลอมละลายโลหะผสมกึ่งตัวนำ	54

5.2	การเตรียมสารตัวอย่างสำหรับการหลอม	54
5.2.1	วิธีการชั่งและบรรจุสาร	55
5.2.2	การปิดหลอดแก้วควอทซ์	56
5.3	การหลอมสาร	57
5.3.1	การหลอมแบบธรรมดา	59
5.3.2	การหลอมแบบเควินซ์	59
5.4	การแอนเนิลสาร	59
5.5	เปรียบเทียบผลการหลอมและการแอนเนิลสาร	61
5.6	การหาค่าคงที่ของโครงผลึก	64
5.6.1	หลักการของเครื่องเอ็กซ์เรย์ดิฟแฟรคโตมิเตอร์	64
5.6.2	การเตรียมแผ่นผลึกผงสารตัวอย่าง	66
5.6.3	แพทเทิร์นของพีคของรังสีเอ็กซ์เลี้ยวเบนและการวิเคราะห์ ..	67
5.6.4	การหาค่าดัชนีแลอว์ของระนาบต่างๆ ของพีค	69
5.6.5	การคำนวณค่าคงที่ของโครงผลึก	72
5.6.5.1	พารามิเตอร์ต่างๆ ที่อ่านและคำนวณค่าได้จาก แพทเทิร์นของพีค	72
5.6.5.2	การหักแก้ค่า $(\sin^2\theta/\lambda^2)_{ob}$ ของสารตัวอย่าง ที่ผิดไปจากค่าจริง	73
5.6.5.3	วิธีคำนวณค่าคงที่ของโครงผลึก	74
5.7	การหาค่าความกว้างของช่องว่างแถบพลังงาน	77
5.7.1	การเตรียมสารสำหรับการศึกษาการดูดกลืนแสง	79
5.7.2	การวัดและข้อมูลที่วัดได้จากเครื่อง	80
5.7.3	การคำนวณค่าสัมประสิทธิ์การดูดกลืนแสงของสารตัวอย่าง ..	86
5.7.4	วิธีหาค่าความกว้างของช่องว่างแถบพลังงาน	86
6	สรุปและวิจารณ์ผลการทดลอง	88
	เอกสารอ้างอิง	99
	ประวัติผู้เขียน	102

สารบัญตาราง

ตารางที่	หน้า
5-1 ตารางแสดงน้ำหนักของธาตุต่างๆ ของโลหะผสมกึ่งตัวนำ $z = 0.6, \text{Ag Ga}_{0.8} \text{In}_{0.2} \text{Te}_{0.8} \text{Se}_{1.2}$ น้ำหนัก 2 gm	55
5-2 ตารางเปรียบเทียบระยะเวลาที่ใช้แอนนิลสารที่ได้จากการหลอม แบบธรรมดาและแบบ เควินซ์	61
5-3 ตารางเปรียบเทียบลักษณะเนื้อสารหลังจากแอนนิลที่ได้จากการหลอม แบบธรรมดาและแบบ เควินซ์	62
5-4 ตารางแสดงข้อมูลของโลหะผสมกึ่งตัวนำ $z = 0.6, \text{Ag Ga}_{0.8} \text{In}_{0.2}$ $\text{Te}_{0.8} \text{Se}_{1.2}$ ที่ได้จากการหลอมแบบ เควินซ์	72
5-5 ตารางแสดงตำแหน่งพีคของซีลิกอนที่อ่านจากแพทเทิร์นของสารตัวอย่าง $z = 0.6, \text{Ag Ga}_{0.8} \text{In}_{0.2} \text{Te}_{0.8} \text{Se}_{1.2}$ ที่หลอมแบบ เควินซ์ เปรียบเทียบกับค่ามาตรฐาน	73
5-6 ตารางแสดงพารามิเตอร์ที่ใช้คำนวณค่า a และ c ของโลหะผสมกึ่งตัวนำ $z = 0.6, \text{Ag Ga}_{0.8} \text{In}_{0.2} \text{Te}_{0.8} \text{Se}_{1.2}$ ที่หลอมแบบ เควินซ์	76
5-7 ตารางแสดงค่าคงที่ของโครงผลึกของโลหะผสมกึ่งตัวนำ กลุ่ม $\text{Ag Ga}_{0.8} \text{In}_{0.2} \text{Te}_{2(1-z)} \text{Se}_{2z}$	77
5-8 ตารางแสดงค่า I_t, I_o, α และ α_o ของโลหะผสมกึ่งตัวนำ $z = 0.6, \text{Ag Ga}_{0.8} \text{In}_{0.2} \text{Te}_{0.8} \text{Se}_{1.2}$ ที่ได้จากการ หลอมแบบ เควินซ์	82
5-9 ตารางแสดงค่าพารามิเตอร์ต่างๆ ที่ใช้หาค่า Eg ของโลหะผสมกึ่งตัวนำ $z = 0.6, \text{Ag Ga}_{0.8} \text{In}_{0.2} \text{Te}_{0.8} \text{Se}_{1.2}$ ที่ได้จากการ หลอมแบบ เควินซ์	84
5-10 ตารางแสดงขนาดของช่องว่างแถบพลังงานของโลหะผสมกึ่งตัวนำ กลุ่ม $\text{Ag Ga}_{0.8} \text{In}_{0.2} \text{Te}_{2(1-z)} \text{Se}_{2z}$	87
6-1 ตารางเปรียบเทียบค่าคงที่ของโครงผลึกและความกว้างของช่องว่าง แถบพลังงานของสารที่หลอมแบบธรรมดาและแบบ เควินซ์	89
6-2 ตารางแสดงชนิดสภาพนำไฟฟ้าของโลหะผสมกึ่งตัวนำ กลุ่ม $\text{Ag Ga}_{0.8} \text{In}_{0.2} \text{Te}_{2(1-z)} \text{Se}_{2z}$	96

สารบัญรูป

รูปที่		หน้า
2.1	แสดงสนามพลังงานศักย์ของของแข็งในแบบจำลองของชอมเมอร์เฟลด์ ...	8
2.2	แสดงสนามพลังงานศักย์ที่มีลักษณะเป็นรูคืบ ...	9
2.3	แสดงแถบพลังงานที่อนุญาตให้อิเล็กตรอนมีค่าได้ ...	10
2.4	แสดงลักษณะพันธะไอออนิก ...	13
2.5	แสดงลักษณะพันธะเชิงสี่ ...	14
2.6	แสดงโครงสร้างแบบไดอะมอนด์ ...	17
2.7	แสดงภาพถ่ายเงาของอะตอมของโครงสร้างไดอะมอนด์ ...	18
2.8	แสดงโครงสร้างแบบซิงค์เบลนด์ ...	19
2.9	แสดงภาพถ่ายเงาของอะตอมในโครงสร้างซิงค์เบลนด์ ...	20
2.10	แสดงโครงสร้างแบบเวอร์ไทซ์ ...	22
2.11	แสดงโครงสร้างแบบซาลโคไฟไรท์ ...	23
2.12	แสดงภาพถ่ายเงาของอะตอมในโครงสร้างซาลโคไฟไรท์ ...	24
2.13	แสดงตำแหน่งอะตอมต่างๆ ของซาลโคไฟไรท์ กลุ่ม I-III-VI ₂ ...	26
2.14	แสดงความสัมพันธ์ระหว่างพลังงานของอิเล็กตรอนและเวกเตอร์คลื่น ...	28
2.15	แสดงความสัมพันธ์ระหว่างพลังงานของอิเล็กตรอนและเวกเตอร์คลื่นใน รีทวิซอน ...	29
2.16	แสดงบริลลันโซนของโครงสร้างไดอะมอนด์และซิงค์เบลนด์ ...	30
2.17	แสดงโครงสร้างแถบพลังงานของผลึกกึ่งตัวนำ Si ...	31
2.18	แสดงโครงสร้างแถบพลังงานของผลึกกึ่งตัวนำ Ge ...	32
2.19	แสดงโครงสร้างแถบพลังงานของผลึกกึ่งตัวนำ Ga As ...	33
2.20	แสดงบริลลันโซนของซิงค์เบลนด์เปรียบเทียบกับของซาลโคไฟไรท์ ...	33
2.21	แสดงโครงสร้างแถบพลังงานแบบประมาณของ Zn Ge As ₂ ...	35
2.22	แสดงการตรวจสอบกระแสที่เกิดจากการแพร่ด้วยวิธีซีวีอาร์ ...	38
3.1	แสดงการเรียงตัวของจุดแลตทิซใน 2 มิติ ...	39
3.2	แสดงการเลี้ยวเบนของรังสีเอกซ์จากระนาบในผลึก ...	40
3.3	แสดงชุดระนาบต่างๆ ของแลตทิซสเปส ...	42

รูปที่

หน้า

4.1	แสดงการเคลื่อนย้ายสถานะพลังงานของอิเล็กทรอนิกส์แบบตรง	49
4.2	แสดงการเคลื่อนย้ายพลังงานของอิเล็กทรอนิกส์แบบเฉียง	51
5.1	แสดงขั้นตอนการปิดหลอดแก้วบรรจุสาร	56
5.2	แสดงเตาหลอมแบบโซนเดี่ยว	58
5.3	แสดงส่วนสำคัญของเครื่องอิเล็กทรอนิกส์เพอร์คโตมิเตอร์	65
5.4	แสดงแผ่นสไลด์ผงผลึกสารตัวอย่าง	66
5.5	แสดงแพทเทิร์นของพีคของโลหะผสมกึ่งตัวนำ $z = 0.6$, $Ag Ga_{0.8} In_{0.2} Te_{0.8} Se_{1.2}$	68
5.6	แสดงแพทเทิร์นของพีคระนาบต่างๆ ของโลหะผสมกึ่งตัวนำ $z = 0.6$, $Ag Ga_{0.8} In_{0.2} Te_{0.8} Se_{1.2}$	71
5.7	แสดงเครื่องมือต่างๆ ที่ใช้ศึกษาการดูดกลืนแสง	79
5.8	แสดงกราฟความเข้มแสง I_t และ I_0 ของโลหะผสมกึ่งตัวนำ $z = 0.6$, $Ag Ga_{0.8} In_{0.2} Te_{0.8} Se_{1.2}$ ที่หลอมแบบเควินซ์	81
5.9	แสดงกราฟสัมประสิทธิ์การดูดกลืนแสงที่ความถี่แสงต่างๆ ของโลหะผสมกึ่งตัวนำ $z = 0.6$, $Ag Ga_{0.8} In_{0.2} Te_{0.8} Se_{1.2}$ ที่หลอมแบบเควินซ์	83
5.10	แสดงกราฟที่ใช้คำนวณค่า Eg ของโลหะผสมกึ่งตัวนำ $z = 0.6$, $Ag Ga_{0.8} In_{0.2} Te_{0.8} Se_{1.2}$ ที่หลอมแบบเควินซ์	85
6.1	แสดงรูปลูกบาศก์ที่แทนระบบของโลหะผสมกึ่งตัวนำ กลุ่ม $Cu_{(1-x)} Ag_x Ga_y In_{(1-y)} Te_{2(1-z)} Se_{2z}$	92
6.2	แสดงกราฟค่าคงที่ของโครงผลึก (a) ที่สัดส่วนอะตอมต่างๆ	93
6.3	แสดงกราฟค่าคงที่ของโครงผลึก (c) ที่สัดส่วนอะตอมต่างๆ	94
6.4	แสดงกราฟของช่องว่างแถบพลังงาน (Eg) ที่สัดส่วนอะตอมต่างๆ	95